

# Teoria di campo medio per l'antiferromagnete di Ising

L. P.

24 Novembre 2005

Consideriamo la hamiltoniana di Ising, definita su un reticolo cubico semplice in  $d$  dimensioni, con coefficiente di interazione  $-J$ , dove  $J > 0$ :

$$H(\sigma) = \sum_{\langle ij \rangle} J \sigma_i \sigma_j - \sum_i h \sigma_i. \quad (1)$$

È ragionevole aspettarsi, in questa situazione, che gli stati di più bassa energia corrispondano a configurazioni in cui spin primi vicini puntano prevalentemente in direzioni opposte. Per descrivere questa situazione, suddividiamo il reticolo in due sottoreticoli: il sottoreticolo **pari**, in cui la somma delle coordinate (esprese in unità del passo del reticolo) è pari, e il sottoreticolo dispari. Se  $i$  appartiene, per esempio, al sottoreticolo pari, ciascuno dei suoi primi vicini apparterrà al sottoreticolo dispari. Definiamo quindi la **magnetizzazione alternata**  $N$  mediante l'espressione

$$N = \sum_i \epsilon_i \sigma_i, \quad (2)$$

dove  $\epsilon_i = +1$  se  $i$  appartiene al sottoreticolo pari, e  $\epsilon_i = -1$  se appartiene al sottoreticolo dispari. D'altra parte, possiamo anche considerare la magnetizzazione  $M$ , definita come al solito da

$$M = \sum_i \sigma_i. \quad (3)$$

Indichiamo con  $m$  ed  $n$  la magnetizzazione e la magnetizzazione alternata per spin:

$$m = \frac{M}{\mathcal{N}}, \quad n = \frac{N}{\mathcal{N}}, \quad (4)$$

dove  $\mathcal{N}$  è il numero totale di spin.

Desideriamo studiare il sistema in approssimazione di campo medio. Ci aspetteremo che il valor medio dello spin  $\langle \sigma_i \rangle$  abbia valori diversi nei due sottoreticoli. Indichiamo con  $m_+$  (rispettivamente  $m_-$ ) questo valore per il sottoreticolo pari (rispettivamente dispari). Si ha ovviamente

$$m = \frac{m_+ + m_-}{2}; \quad n = \frac{m_+ - m_-}{2}. \quad (5)$$

Quindi

$$m_+ = m + n; \quad m_- = m - n. \quad (6)$$

Possiamo adesso valutare l'entropia  $S_0$  che compare nell'espressione dell'energia libera di prova nella teoria di campo medio. Avremo  $\mathcal{N}/2$  spin con magnetizzazione  $m_+$  e altrettanti con magnetizzazione  $m_-$ . L'entropia per spin di un paramagnete con magnetizzazione  $x$  è data da

$$s(x) = -k_B \left[ \left( \frac{1+x}{2} \right) \log \left( \frac{1+x}{2} \right) + \left( \frac{1-x}{2} \right) \log \left( \frac{1-x}{2} \right) \right]. \quad (7)$$

Quindi

$$S_0 = \frac{\mathcal{N}}{2} [s(m_+) + s(m_-)] = \frac{\mathcal{N}}{2} [s(m+n) + s(m-n)]. \quad (8)$$

L'energia libera di prova, espressa in funzione di  $m$  ed  $n$ , è quindi data da

$$\mathcal{F}(m, n) = \mathcal{N} \left\{ -\frac{\zeta J n^2}{2} - hm - \frac{T}{2} [s(m+n) + s(m-n)] \right\}, \quad (9)$$

dove  $\zeta = 2d$  è il numero di coordinazione del reticolo. Ricordando che

$$\frac{ds}{dx} = -k_B \tanh^{-1} x, \quad (10)$$

possiamo ottenere le equazioni di autoconsistenza per  $m$  ed  $n$ :

$$h = \frac{k_B T}{2} [\tanh^{-1}(m+n) + \tanh^{-1}(m-n)]; \quad (11)$$

$$\zeta J n = \frac{k_B T}{2} [\tanh^{-1}(m+n) - \tanh^{-1}(m-n)]. \quad (12)$$

Evidentemente queste equazioni ammettono sempre la soluzione banale con  $n = 0$  e con

$$m = \tanh \left( \frac{h}{k_B T} \right). \quad (13)$$

Vediamo in quali condizioni è possibile ottenere delle soluzioni stabili con  $n \neq 0$ . Poiché

$$\tanh(m+n) = \tanh(m) + \frac{n}{1-m^2} + \frac{mn^2}{(1-m^2)^2} + \frac{(1+m^2)^2 n^3}{3(1-m^2)^3} + o(n^3), \quad (14)$$

otteniamo

$$\frac{1}{2} [\tanh^{-1}(m+n) - \tanh^{-1}(m-n)] = \frac{n}{1-m^2} + \frac{(1+m^2)^2 n^3}{3(1-m^2)^3} + o(n^3). \quad (15)$$

Quindi, per piccoli valori di  $n$ , otteniamo l'equazione

$$\left( \frac{\zeta J}{k_B T} - \frac{1}{1-m^2} \right) n \simeq \frac{(1+m^2)^2 n^3}{3(1-m^2)^3}. \quad (16)$$

Questa equazione ammette soluzioni con  $n$  reale solo se il fattore fra parentesi a primo membro è positivo. Abbiamo quindi identificato la linea di transizione  $T_c(m)$  in funzione della magnetizzazione per spin  $m$ :

$$k_B T_c(m) = (1 - m^2)\zeta J. \quad (17)$$

Vediamo che, per  $m = 0$ , la temperatura critica è uguale a quella del modello di Ising ferromagnetico. Però, all'aumentare di  $|m|$ , la temperatura tende a 0. È anche interessante considerare la linea di transizione  $T_c(h)$  in funzione del campo magnetico applicato  $h$ . Poiché  $m$ ,  $h$  e  $T$  sono collegati dalla (13), dobbiamo risolvere la seguente equazione in  $T_c$ :

$$k_B T_c = [1 - \tanh^2(h/k_B T_c)] \zeta J. \quad (18)$$

In realtà è molto più semplice esprimere parametricamente  $T_c(m)$  tramite la (17) e  $h(T_c, m)$  invertendo la (13). Si ottiene così il diagramma di fase mostrato in figura 1, in cui gli stati con  $n \neq 0$  sono all'interno della curva, e le temperature sono misurate in unità  $T_c(0)$ . Notiamo che, se  $h \neq 0$ , c'è una regione in cui si ha

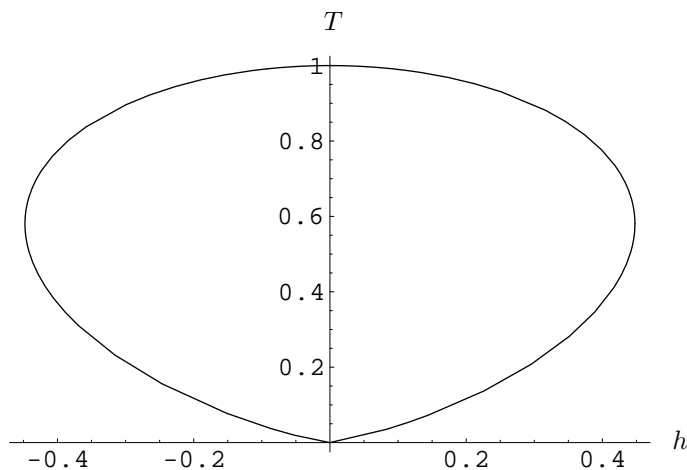


Figura 1: Diagramma di fase per l'antiferromagnete di Ising nel piano  $(h, T)$ . La fase antiferromagnetica è all'interno della curva.

un comportamento rientrante della fase antiferromagnetica: si passa dalla fase disordinata alla fase antiferromagnetica abbassando la temperatura al disotto di una temperatura  $T_{c1}$ ; poi però, a una temperatura  $T_{c2} < T_{c1}$ , il sistema ritorna nella fase disordinata.

Notiamo che l'andamento della suscettività  $\chi = \partial m / \partial h$  cambia quando  $n$  diventa non nullo. per piccoli valori di  $|n|$ , abbiamo infatti dalla (11), tenendo conto della (14),

$$h \simeq k_B T \left[ \tanh(m) + \frac{mn^2}{(1 - m^2)^2} \right]. \quad (19)$$

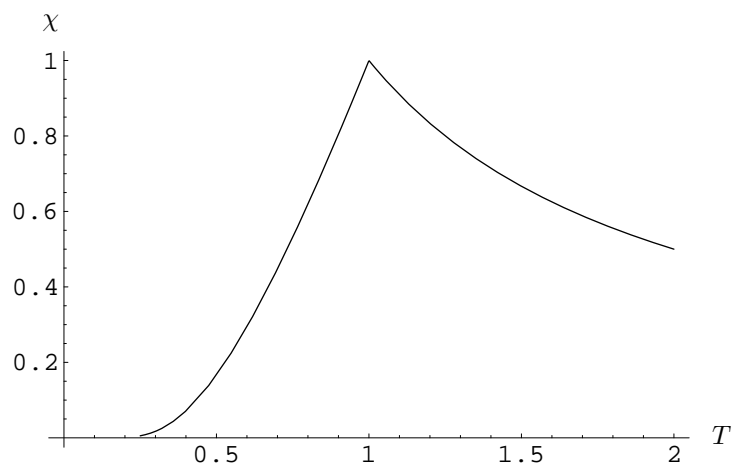


Figura 2: Suscettività magnetica  $\chi = \partial m / \partial h$  in funzione di  $T$ , lungo la linea  $h = 0$ . La temperatura è misurata in unità di  $T_c$ .

Il secondo termine di questa equazione è proporzionale a  $m [T_c(m) - T]$  (con un coefficiente positivo). Quindi la derivata di  $\chi$  rispetto a  $T$  subisce una discontinuità per  $T = T_c$ . Per esempio, in figura 2 viene mostrata la suscettività in funzione di  $T$  lungo la linea  $h = 0$ . In questo caso, è facile vedere che

$$\chi = \frac{1 - n^2}{k_B T}. \quad (20)$$